

АВТОКОЛЕБАНИЯ ПЛОТНОСТИ ЭКСИТОНОВ И ТЕМПЕРАТУРЫ В ПРИМЕСНОМ МОЛЕКУЛЯРНОМ КРИСТАЛЛЕ

И.Ю.Голиней, А.А.Деляков, В.И.Сугаков

Предложена и реализована на эксперименте модель, в которой впервые наблюдалась автоколебания в экситонно-примесной системе молекулярного кристалла.

Рассматривается молекулярный кристалл, содержащий ловушки для экситонов. При малых плотностях экситонов квантовый выход их люминесценции близок к единице, и главным механизмом передачи энергии от экситонов к решетке является бимолекулярная аннигиляция. При облучении светом в кристалле устанавливается стационарное распределение свободных экситонов и экситонов, локализованных на ловушках. Флуктуационное повышение температуры кристалла приводит к выбросу экситонов из ловушек в зону, растет скорость бимолекулярного тушения, что ведет к дальнейшему повышению температуры. Поэтому при определенных значениях внешних параметров (накачки, температуры термостата) стационарное состояние может оказаться неустойчивым и в системе возникнут автоколебания температуры и плотности экситонов. В полупроводниковых кристаллах автоколебания в электрон-экситонной системе наблюдались при другом механизме: при двойной накачке светом и волной СВЧ¹.

Поведение экситонной системы тонкого молекулярного кристалла, в котором внешний источник создает однородное по объему распределение экситонов, описывается следующими уравнениями:

$$dn/dt = K - \frac{n}{\tau} - \gamma n^2 - \frac{1}{2} \gamma_a nn^+ - \gamma_3 nn^- + \gamma_3 n^+ Ne^{-\epsilon/T}, \quad (1)$$

$$dn^+/dt = -n^+/\tau_1 - \gamma_a nn^+ + \gamma_3 nn^- - \gamma_3 n^+ Ne^{-\epsilon_1/T}, \quad (2)$$

$$\alpha T^3 \frac{dT}{dt} = \epsilon_1 \gamma n^2 + \epsilon_2 \gamma_a nn^+ - \beta(T - T_i), \quad (3)$$

где K – скорость создания экситонов, n и n^+ – плотность свободных и захваченных экситонов, n^- – число ловушек, не занятых экситонами ($n^+ + n^- = n_1$ – полная концентрация ловушек), γ – константа аннигиляции двух свободных экситонов, γ_a – связанного и свободного, γ_3 – константа захвата экситона на ловушку, τ и τ_1 – времена жизни соответственно свободного и связанного экситонов, ϵ_1 и ϵ_2 – энергия, выделяемая при аннигиляции двух свободных и свободного и связанного экситонов (для мелких ловушек $\epsilon_1 \sim \epsilon_2$), ϵ_1 – глубина ловушки, αT^3 – теплоемкость кристалла, T_i – температура термостата, N – число молекул в единице объема кристалла.

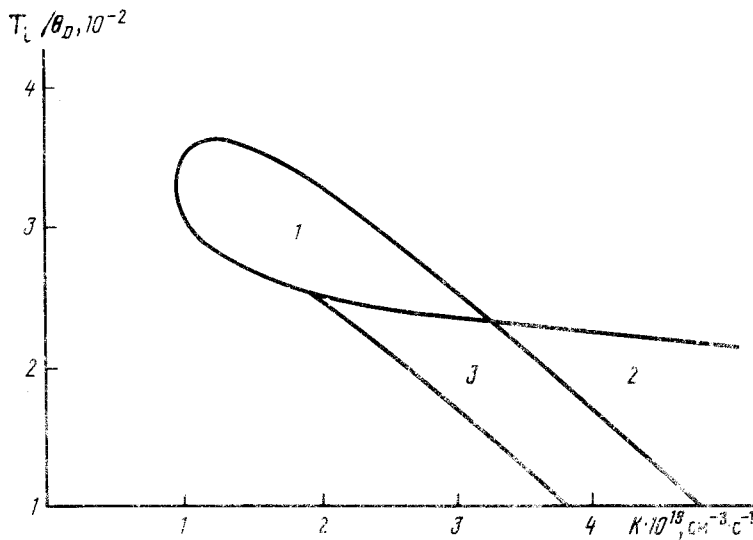


Рис. 1. Данные расчета области существования автоколебаний и бистабильности в зависимости от интенсивности накачки и температуры термостата. Для расчетов использованы параметры: $\tau = 2 \cdot 10^{-3}$ с $^{-1}$; $\tau_1/\tau = 5$; $\gamma = \gamma_a = \gamma_3 = 5 \cdot 10^{-13}$ см 3 /с; $\epsilon_1 = \epsilon_2 = 34$ см $^{-1}$; $\beta = 22550$ см $^{-1}$; $\alpha = 114$ эрг/К 4 см 3 ; $N = 4 \cdot 10^{21}$ см $^{-3}$; концентрация ловушек 5%; $\beta = 2 \cdot 10^{23}$ см $^{-3}$ с $^{-1}$

Классификация особых точек системы (1) – (3) на плоскости внешних параметров K , T_i для молекулярного кристалла с параметрами, характерными для триплетных экситонов приведена на рис. 1. В области 1 существует одна неустойчивая особая точка (фокус или узел), в этой области следует ожидать автоколебаний. В области 2 – три особых точки, две из которых устойчивы. Здесь следует ожидать бистабильного поведения системы. В области 3 – одна из трех особых точек устойчива.

Результаты расчетов показывают, что область существования колебаний расширяется при увеличении параметров β и τ . Увеличение глубины ловушки ϵ_1 приводит к повышению максимальной температуры, при которой существуют автоколебания, однако область их существования при этом уменьшается. Частота автоколебаний растет с ростом накачки.

Для экспериментов была выбрана система триплетных экситонов в кристаллах дейтеробензофенона- d_{10} с примесью бензофенона- h_{10} , которая образует триплетные ловушки

глубиной 34 см⁻¹. Кристалл помещался в гелиевый криостат с температурой рабочего объема от 2,4 до 4,2К. Триплетные экситоны возбуждались ртутной лампой высокого давления ($\lambda = 365$ нм) по схеме $S_0 \rightarrow S_1 \leftarrow T_1$. Измерялась интенсивность интегральной (по спектру) фосфоресценции кристалла. Доля свободных экситонов в ней не превышала 10^{-2} , остальная часть принадлежала экситонам, захваченным изотопическими ловушками.

В первой серии экспериментов образец погружался в жидкий гелий. Если образец с изотопической примесью имел толщину менее 0,1 мм, интенсивность фосфоресценции при стационарной накачке истытывала периодические колебания с частотой в несколько Гц (рис. 2). Колебания имели место при превышении накачкой порогового значения (около 0,5 Вт/см²). С увеличением интенсивности накачки частота колебаний росла (вставка на рис. 2), а затем их периодичность нарушалась.

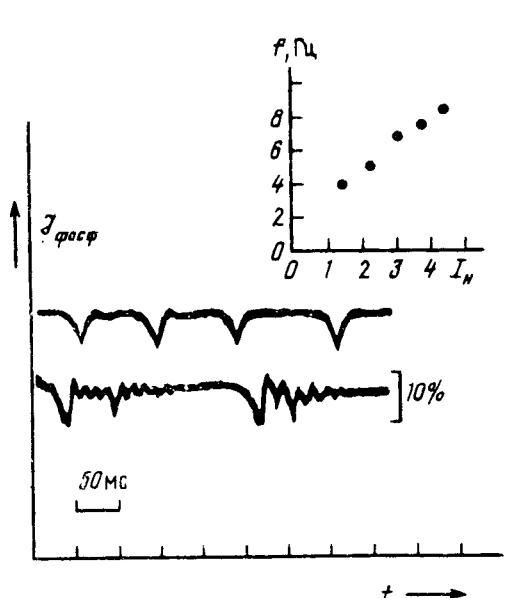


Рис. 2

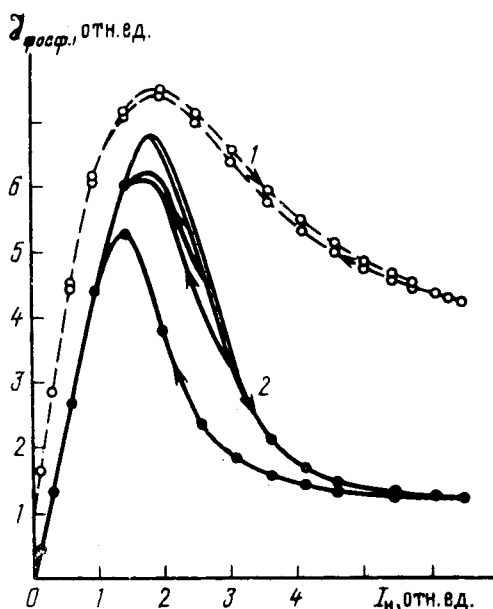


Рис. 3

Рис. 2. Колебания интенсивности фосфоресценции кристалла дейтеробензофенона-*d*₁₀ при стационарной накачке. Оба образца содержали 5% примеси бензофенона-*d*₁₀ и различались формой

Рис. 3. Зависимость интенсивности фосфоресценции кристалла дейтеробензофенона с 1% примесью бензофенона от интенсивности накачки при двух значениях температуры термостата: 1 – 4,20 K, 2 – 2,43 K

Свидетельством возможности объяснения наблюдаемых колебаний с помощью предложенной выше модели являются: 1) отсутствие автоколебаний в толстых образцах и в кристаллах, не содержащих мелких ловушек для триплетных экситонов; 2) проявление колебаний в виде провалов в интенсивности фосфоресценции; 3) пороговый характер возникновения колебательного процесса; 4) рост частоты колебаний с увеличением интенсивности накачки; 5) близость расчетных и наблюдаемых значений частот ($v_{\text{теор}} = 10 \div 20$ Гц, $v_{\text{эксп}} = 4 \div 8$ Гц). (Точное сопоставление частот в настоящее время провести затруднительно ввиду отсутствия надежных данных о ряде параметров кристалла, в частности, о параметре β). Перечисленные обстоятельства позволяют считать предложенное объяснение более предпочтительным, чем другие возможные, например, связанные с регулированием

отвода тепла из кристалла вследствие образования пленки газа между кристаллом и жидкостью. Наблюдения с 20-кратным увеличением показали, что колебания не коррелируют с образованием пузырьков при кипении гелия. Колебания сохранялись и при перекрытии выхода газа из криостата, когда кипение прекращалось.

Во второй серии экспериментов кристалл располагался в газе над уровнем жидкого гелия. В этом случае теплоотдача из кристалла в термостат более медленная. Обнаружено, что в широкой области экспериментальных условий зависимость интенсивности фосфоресценции $J_{\text{фосф}}$ от накачки I_n обладает гистерезисом (рис. 3) с шириной петли тем большей, чем ниже T_f . Гистерезис пропадает при переходе к образцу бензофенона с естественными ловушками, не чувствительными к температуре кристалла в окрестности 4,2К. Петля гистерезиса расположена на падающей части зависимости $J_{\text{фосф}}(I_n)$ в области сильно выраженной нелинейности.

Появление гистерезиса может быть объяснено бистабильностью рассматриваемой системы. Имеются, однако, заметные отличия характера наблюдаемой зависимости $J_{\text{фосф}}(I_n)$ от ожидаемого в модели: вместо петли бистабильного типа, характеризующейся при каждом I_n не более чем двумя устойчивыми состояниями, наблюдается гистерезис ферромагнитного типа с шириной петли тем меньшей, чем меньше диапазон изменения накачки. Верхняя ветвь петли не вполне устойчива: здесь сигнал содержит дополнительную шумовую компоненту (на рис. 3 это отражено в виде уширения соответствующей части кривой 2). Особенности экспериментальной кривой, вероятно, связаны с неоднородностью оптической накачки.

Литература

1. Ашканиадзе Б.М., Субашев А.В. Письма в ЖЭТФ, 1987, 46, 284.

Институт ядерных исследований
Академии наук Украинской ССР

Институт физики
Академии наук Украинской ССР

Поступила в редакцию
9 января 1989 г.